



БЕЛОРУССКИЙ ГОСУДАРСТВЕННЫЙ УНИВЕРСИТЕТ

Научно-исследовательский институт

прикладных проблем математики и информатики



# ТЕСТИРОВАНИЕ ПСЕВДОСЛУЧАЙНЫХ КРИПТОГРАФИЧЕСКИХ ГЕНЕРАТОРОВ НА ОСНОВЕ ЭНТРОПИЙНЫХ СТАТИСТИК ТСАЛЛИСА

В.Ю. Палуха, Ю.С. Харин

Минск, Беларусь

palukha@bsu.by, kharin@bsu.by

# ВВЕДЕНИЕ

Для проверки качества генераторов случайных и псевдослучайных последовательностей используются статистические тесты. В данном докладе рассматриваются тесты на основе статистических оценок энтропии Тсаллиса для проверки гипотезы  $H^* = \{ \{x_t\} \text{ является РРСП} \}$  о том, что наблюдаемая последовательность является равномерно распределённой случайной последовательностью.

Пусть на вероятностном пространстве  $(\Omega, F, P)$  с множеством состояний  $\Omega = \{\omega_1, \dots, \omega_N\}$  определена случайная величина  $x = x(\omega) = \omega$  с дискретным распределением вероятностей  $P = \{p_k\}$ ,

$p_k = P\{x = \omega_k\}$ ,  $p_k \geq 0$ ,  $\sum_{k=1}^N p_k = 1$ ,  $k = 1, \dots, N$ . Гипотеза  $H^*$  принимает вид  $\{ \{x_t\} - \text{н.о.р.с.в.}, p_k = p_k^0 = 1/N, k = 1, \dots, N \}$ .

# ОЦЕНКА ЭНТРОПИИ ТСАЛЛИСА

Энтропия Тсаллиса определяется формулой

$$S_r(P) = \frac{1}{r-1} \left( 1 - \sum_{k=1}^N p_k^r \right). \quad (1)$$

Пусть имеется случайная выборка  $X_n = \{x_t : t = 1, \dots, n\}$  объёма  $n$  из распределения вероятностей  $\{p_k\}$ . Построим частотные оценки распределения вероятностей  $\{p_k : k = 1, \dots, N\}$  с использованием факториальных степеней:

$$\hat{p}_k^r = \frac{v_k^r}{n^r}, v_k = \sum_{t=1}^n I\{x_t = \omega_k\} \in \mathbb{N}_0 = \mathbb{N} \cup \{0\}, I\{x_t = \omega_k\} = \begin{cases} 1, & x_t = \omega_k; \\ 0, & x_t \neq \omega_k, \end{cases} \quad (2)$$

$$x^r = x(x-1)\dots(x-r+1) = \frac{x!}{(x-r)!} = \sum_{i=0}^r s(r, i) x^i,$$

где  $s(r, i)$  – число Стирлинга первого рода; по определению, при  $x < r$  полагают  $x^r ::= 0$ .

Статистическая оценка энтропии Тсаллиса (1)  $\hat{S}_r(n, N)$ , построенная по подстановочному принципу с использованием частотных оценок вероятностей (2), записывается следующим образом:

$$\hat{S}_r(n, N) = \frac{1}{r-1} \left( 1 - \sum_{k=1}^N \frac{v_k^r}{n^r} \right). \quad (3)$$

Рассмотрим асимптотику<sup>1</sup>, в которой длительность наблюдения  $n$  и число значений  $N$  растут синхронно:

$$n, N \rightarrow \infty, n/N \rightarrow \lambda, 0 < \lambda < \infty. \quad (4)$$

Справедлива теорема<sup>2</sup> об асимптотическом распределении вероятностей статистики (3).

---

<sup>1</sup> *Holst, L. Asymptotic normality and efficiency for certain goodness-of-fit tests / L. Holst // Biometrika. – 1972. – №59. – P. 137–145.*

<sup>2</sup> Палуха, В. Ю. Статистические тесты на основе оценок энтропии для проверки гипотез о равномерном распределении случайной последовательности / В. Ю. Палуха // Весці НАН Беларусі. Серыя фізіка-матэматычных навук. – 2017. – № 1. – С. 79–88.

**Теорема.** В асимптотике (4) статистика (3) является состоятельной асимптотически несмещённой оценкой энтропии Тсаллиса и при истинной гипотезе  $H^*$  имеет асимптотически нормальное

распределение  $\mathcal{L} \left\{ \frac{\hat{H} - \mu_H}{\sigma_H} \right\} \rightarrow \mathcal{N}_1(0,1)$ :

$$\mu_{S,r} = \frac{1}{r-1} \left( 1 - \frac{1}{N^{r-1}} \right),$$

$$\sigma_{S,r}^2 = \frac{\lambda^{r-1}}{(r-1)^2 n^{2r-1}} \left( \sum_{i=1}^r s(r,i) \sum_{j=1}^{i-1} C_i^j r^{i-j} \sum_{k=1}^j S(j,k) \lambda^k - r^2 \lambda^{r-1} + r! \right), \quad (5)$$

где  $S(r, i)$  – число Стирлинга второго рода.

**Следствие.** При  $r = 2$  для математического ожидания и дисперсии асимптотического распределения оценки (4) справедливы выражения:

$$\mu_{S,2} = 1 - \frac{1}{N}, \quad \sigma_{S,2}^2 = \frac{2}{Nn^2}. \quad (5)$$

# РЕШАЮЩЕЕ ПРАВИЛО

Пусть  $\varepsilon \in (0, 1)$  – заданный уровень значимости. Знание асимптотического распределения точечной оценки (3) позволяет построить интервальную оценку энтропии Тсаллиса:

$$\text{с вероятностью } 1 - \varepsilon \quad S_r(P) \in (S_-, S_+), \quad S_{\pm} = \mu_{S,r} \pm \sigma_{S,r} \Phi^{-1} \left( 1 - \frac{\varepsilon}{2} \right), \quad (6)$$

где  $\Phi(\cdot)$  – функция распределения стандартного нормального закона. Решающее правило, основанное на интервальной оценке (6), имеет вид:

$$\text{принимается } \begin{cases} H_*, & \text{если } t_- < \hat{H}(n, N) < t_+; \\ \overline{H_*}, & \text{в противном случае,} \end{cases} \quad t_{\pm} = \mu_H \pm \sigma_H \Phi^{-1} \left( 1 - \frac{\varepsilon}{2} \right). \quad (7)$$

# ЧИСЛЕННЫЕ РЕЗУЛЬТАТЫ

Рассматривались последовательности нелинейного регистра сдвига ( $G_1$ ) с функцией обратной связи 24-го порядка  $x_0 \oplus x_1 \oplus x_8 \oplus x_9 \oplus x_{15} \oplus x_7 x_{18}$ , прореживающего генератора ( $G_2$ ) с порождающим РСЛОС с многочленом  $x^{13} + x^8 + x^5 + x^3 + 1$  и управляющим РСЛОС с многочленом  $x^{11} + x^2 + 1$ , самосжимающего генератора ( $G_3$ ) на основе РСЛОС с многочленом  $x^{24} + x^{11} + x^5 + x^2 + 1$ , последовательность алгоритма ГОСТ 28147-89, работающего в режиме гаммирования ( $G_4$ ), с нулевыми ключом и синхропосылкой. Все выходные последовательности «разрезаются» на непересекающиеся подряд идущие фрагменты длины  $s$  ( $s$ -граммы):  $X^{(t)} = (X_j^{(t)}) = (y_{(t-1)s+1}, \dots, y_{ts}) \in \{0, 1\}^s$ ,  $t = 1, \dots, n = \lfloor T/s \rfloor$ . Из полученных  $s$ -грамм формируется новая последовательность  $\{x_t\}$  из алфавита мощности  $N = 2^s$  по правилу  $x_t = \sum_{j=1}^s 2^{j-1} X_j^{(t)} + 1$ .

**Первая серия экспериментов** проводилась на выходных последовательностях фиксированной длины  $T = 1$  Мбайт. Таким образом, при фиксированном  $T$  и с ростом  $s$  меняется значение  $\lambda$ . На рисунках 1–4 для указанных выше четырёх псевдослучайных генераторов представлены графики зависимости нормированных отклонений оценки энтропии Тсаллиса (3) от асимптотического

математического ожидания (5):  $\frac{\hat{S}_2 - \mu_{s,2}}{\sigma_{s,2} \Phi^{-1}(1 - \varepsilon/2)}$ , на уровне значимости

$\varepsilon = 0.05$  в зависимости от  $s$ . Зависимость  $\lambda$  от  $s$  приведена на рисунке 5. Как видно из рисунков, статистические оценки энтропии Тсаллиса генераторов  $G_1, G_2, G_3$  выходят за границы интервала  $(-1; 1)$ , что означает отклонение гипотезы  $H^*$ . Возвращение внутрь доверительного интервала при больших значениях порядков  $s$  объясняется недостаточной длиной последовательности  $T$ . Что касается генератора  $G_4$ , то выходы за границы доверительного интервала незначительны и позволяют принять гипотезу  $H^*$  при  $s \leq 23$ .

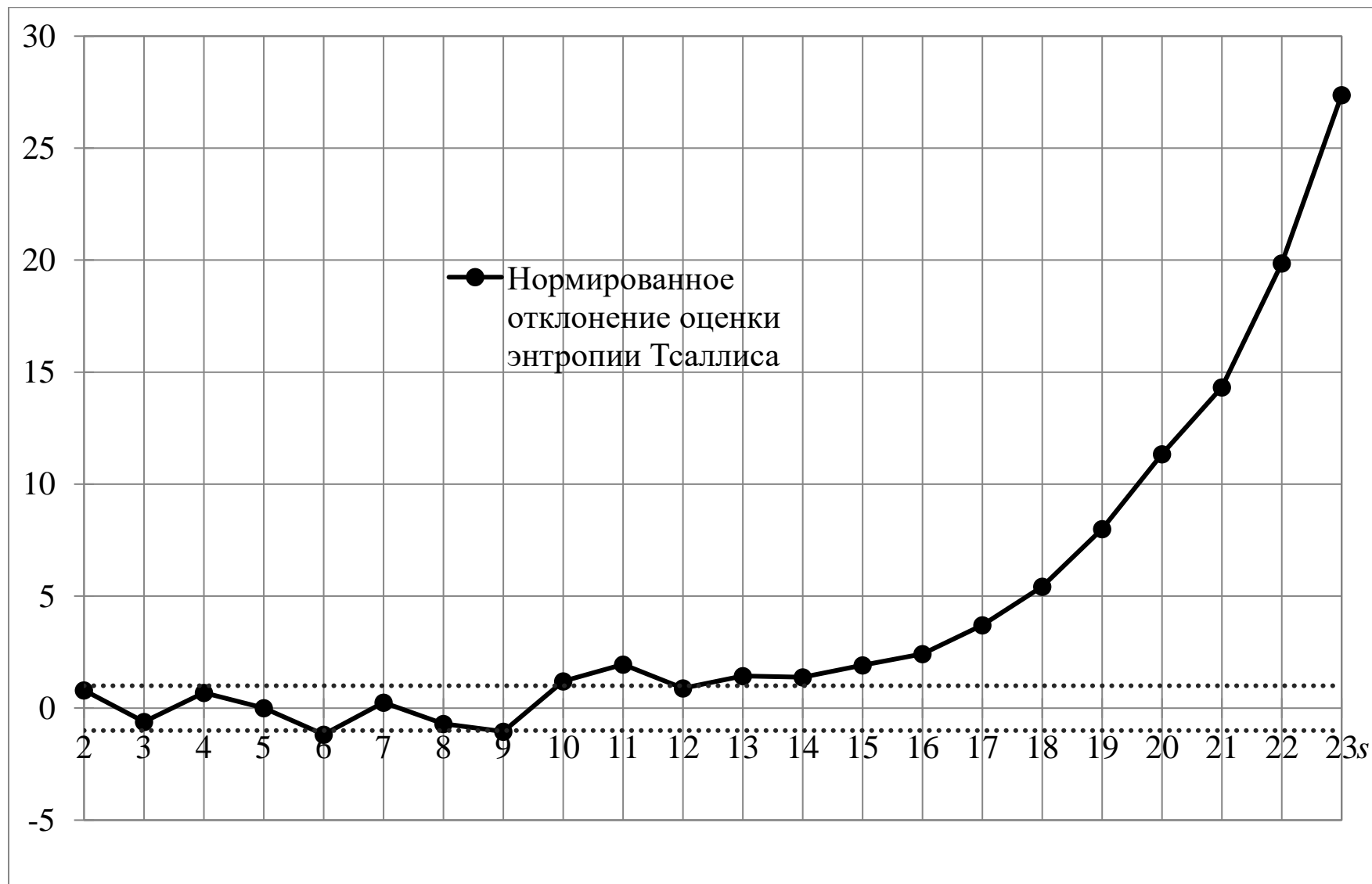


Рисунок 1 – Нормированное отклонение оценки энтропии  
нелинейного регистра сдвига

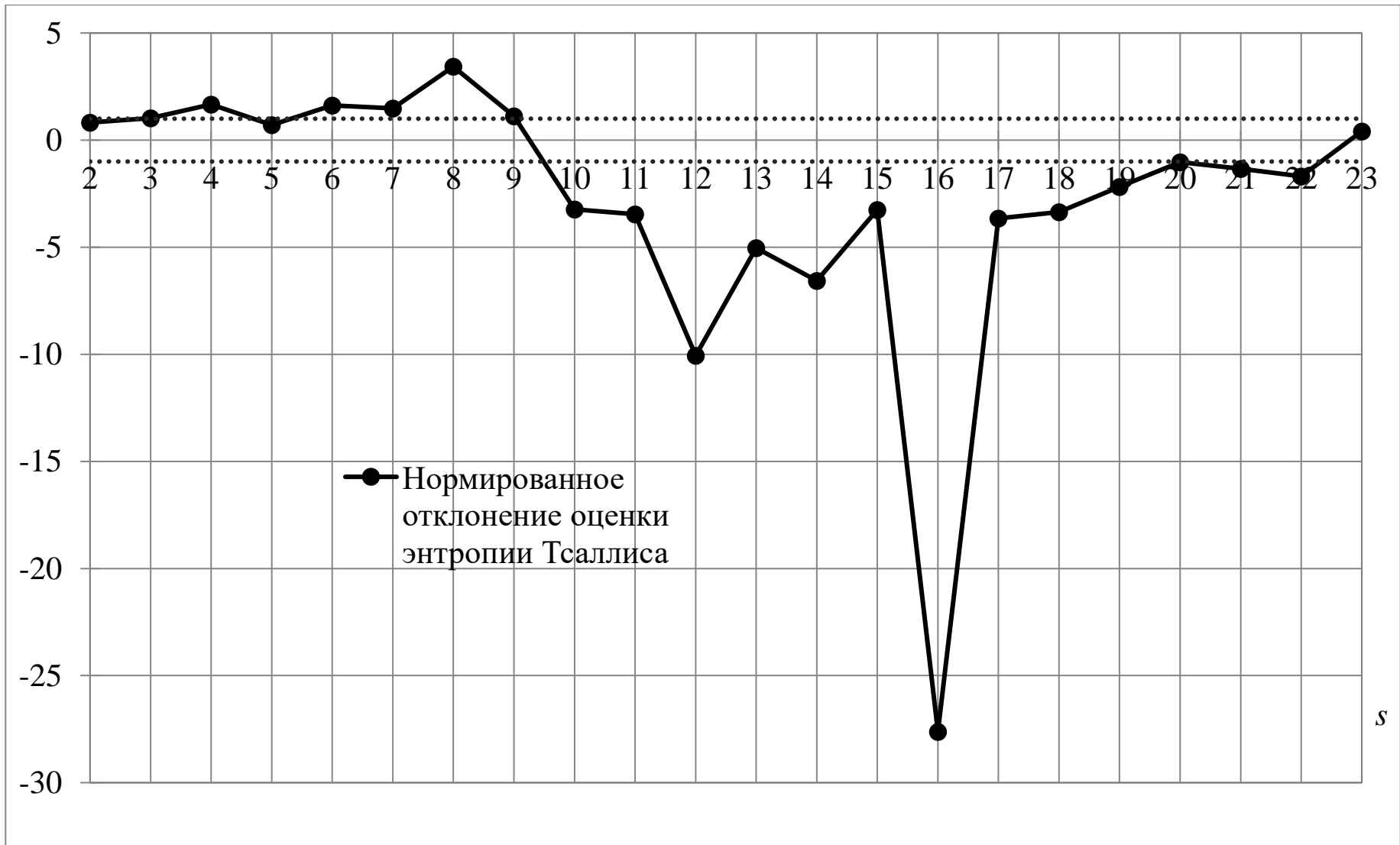


Рисунок 2 – Нормированное отклонение оценки энтропии прореживающего генератора

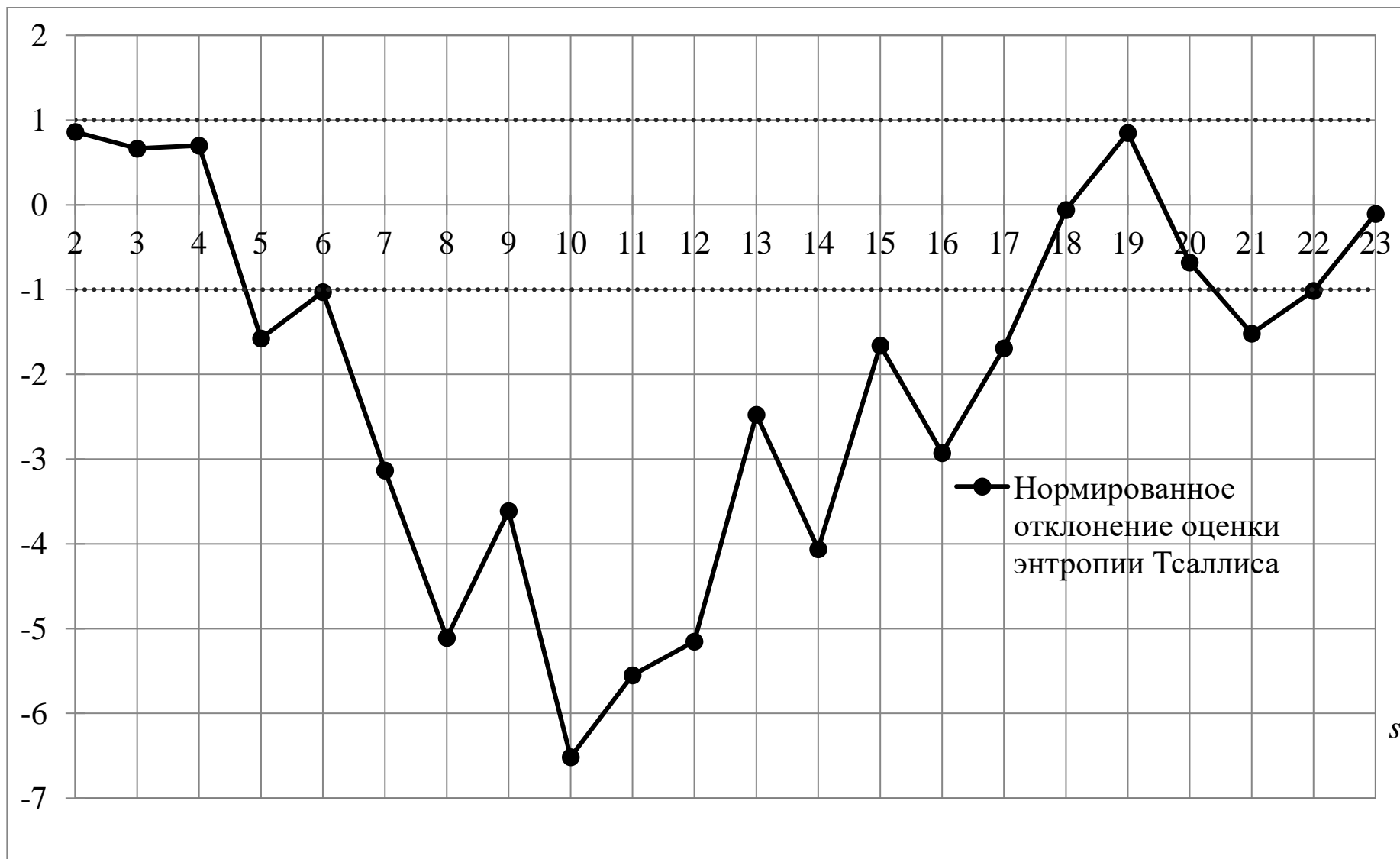


Рисунок 3 – Нормированное отклонение оценки энтропии самосжимающего генератора



Рисунок 4 – Нормированное отклонение оценки энтропии алгоритма ГОСТ 28147-89

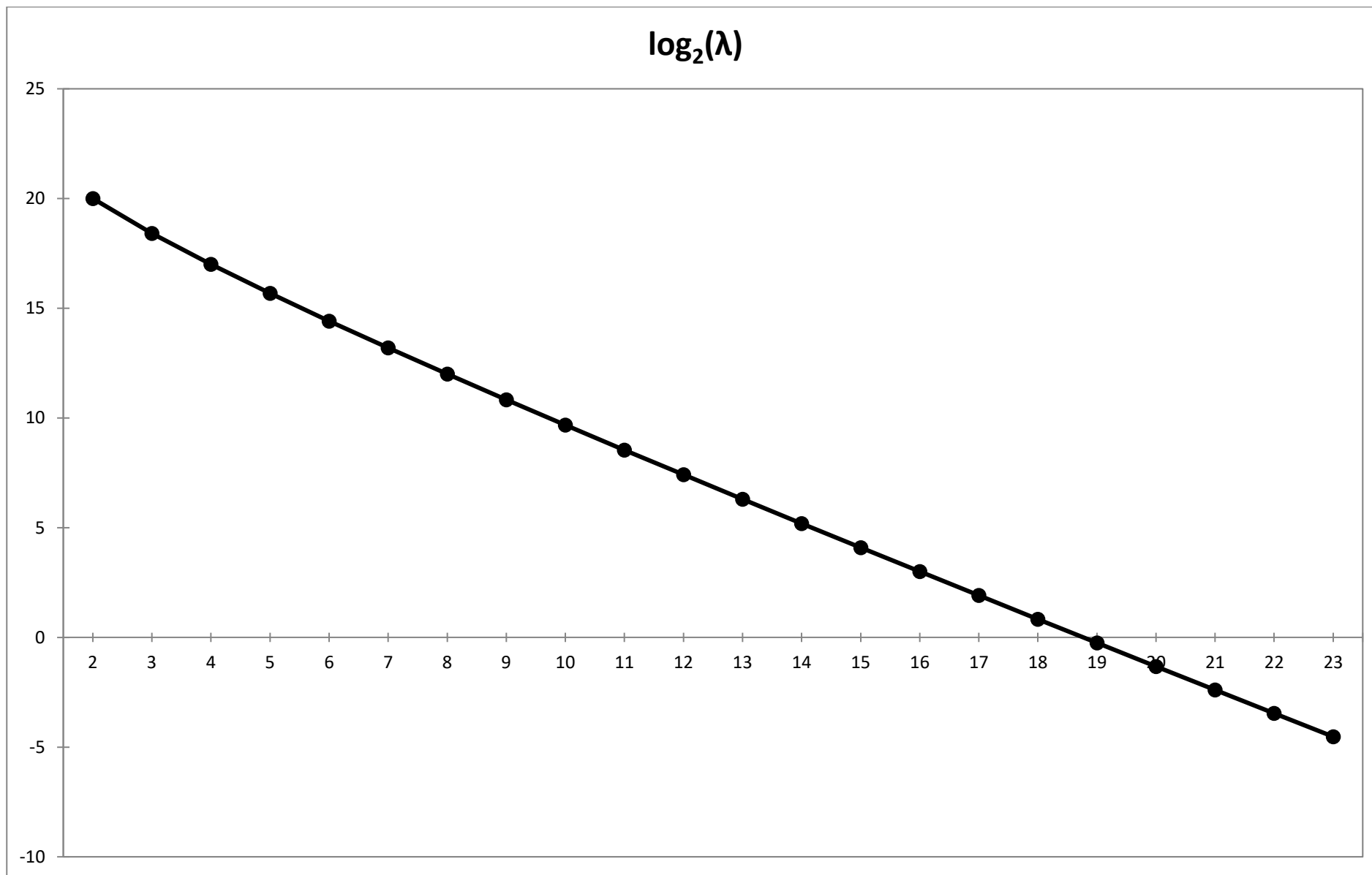


Рисунок 5 – Зависимость  $\lambda$  от  $s$  в логарифмической шкале

**Вторая серия экспериментов** проводилась при фиксированном значении  $\lambda = 2$  (при каждом значении  $s$  совпадал начальный фрагмент рассматриваемой последовательности); результаты экспериментов представлены на рисунках 6–9. Как видно из рисунков, статистические оценки энтропии Тсаллиса генераторов  $G_1, G_2, G_3$  выходят за границы интервала  $(-1; 1)$ , что означает отклонение гипотезы о том, что наблюдаемая последовательность является РРСП. Возвращение внутрь доверительного интервала при больших значениях порядков  $s$  объясняется недостаточной длиной последовательности  $T$ . Что касается генератора  $G_4$ , то выходы за границы доверительного интервала незначительны и позволяют принять гипотезу  $H^*$  при  $s \leq 23$ .

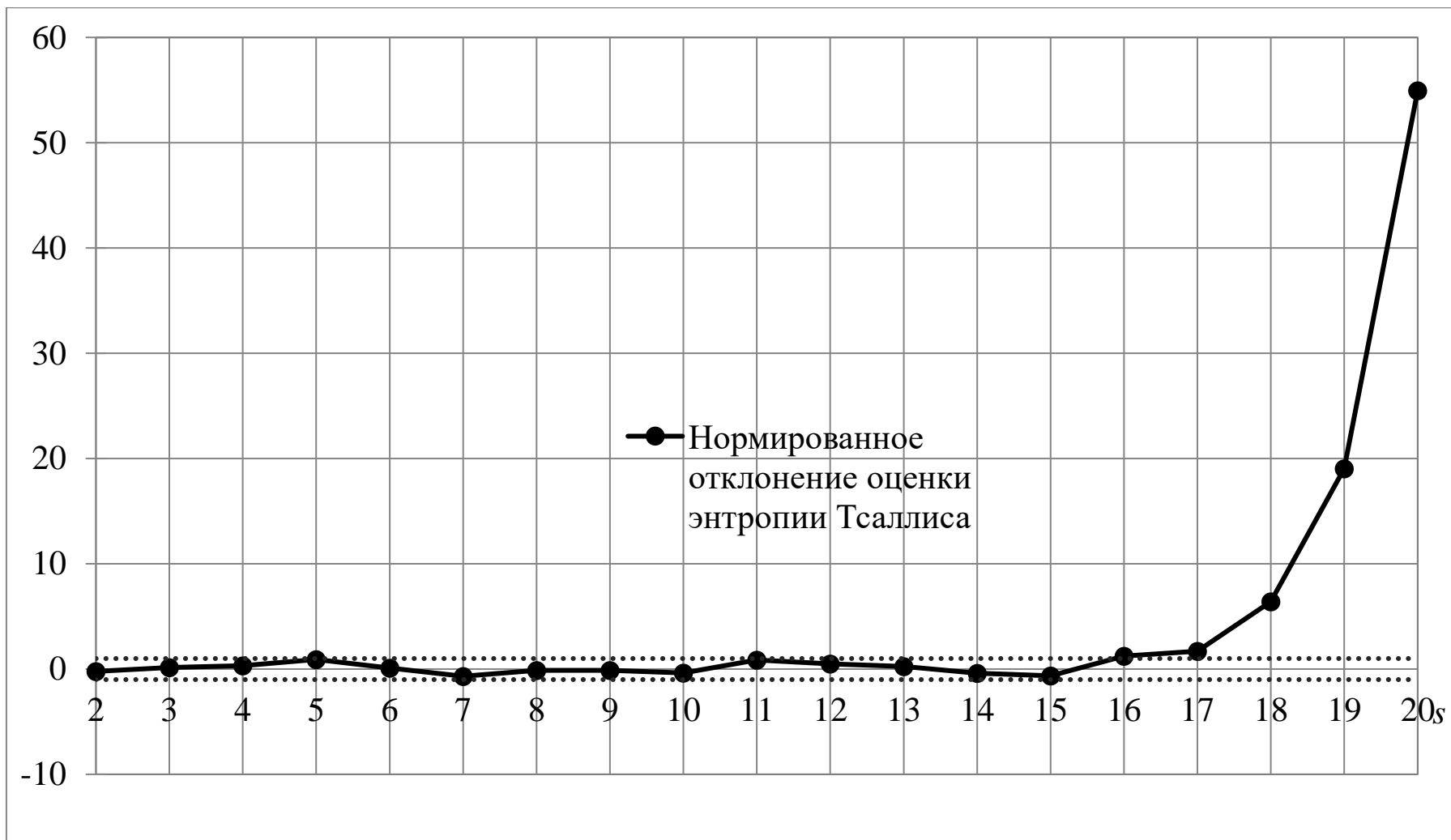


Рисунок 6 – Нормированное отклонение оценки энтропии  
 нелинейного регистра сдвига

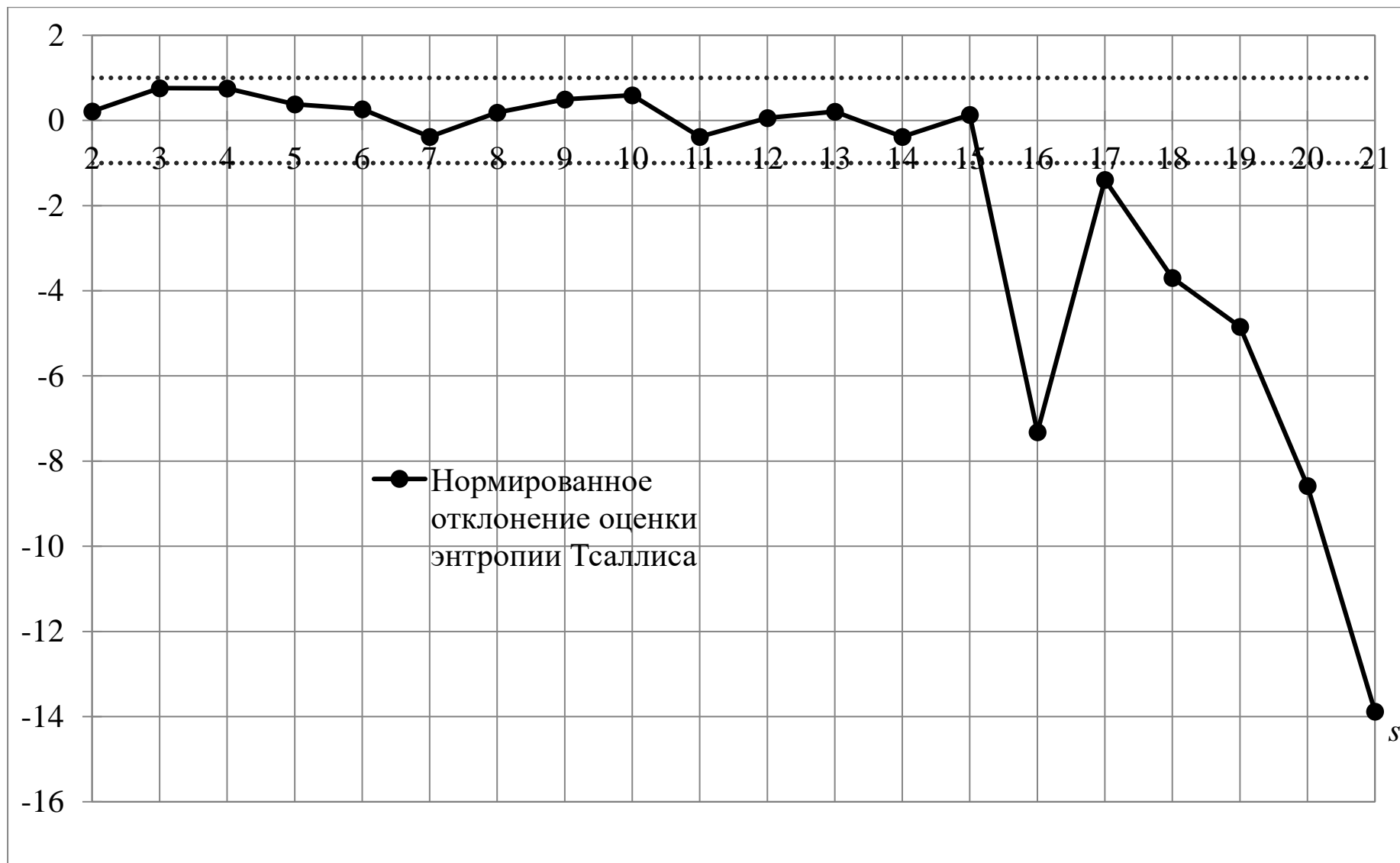


Рисунок 7 – Нормированное отклонение оценки энтропии прореживающего генератора

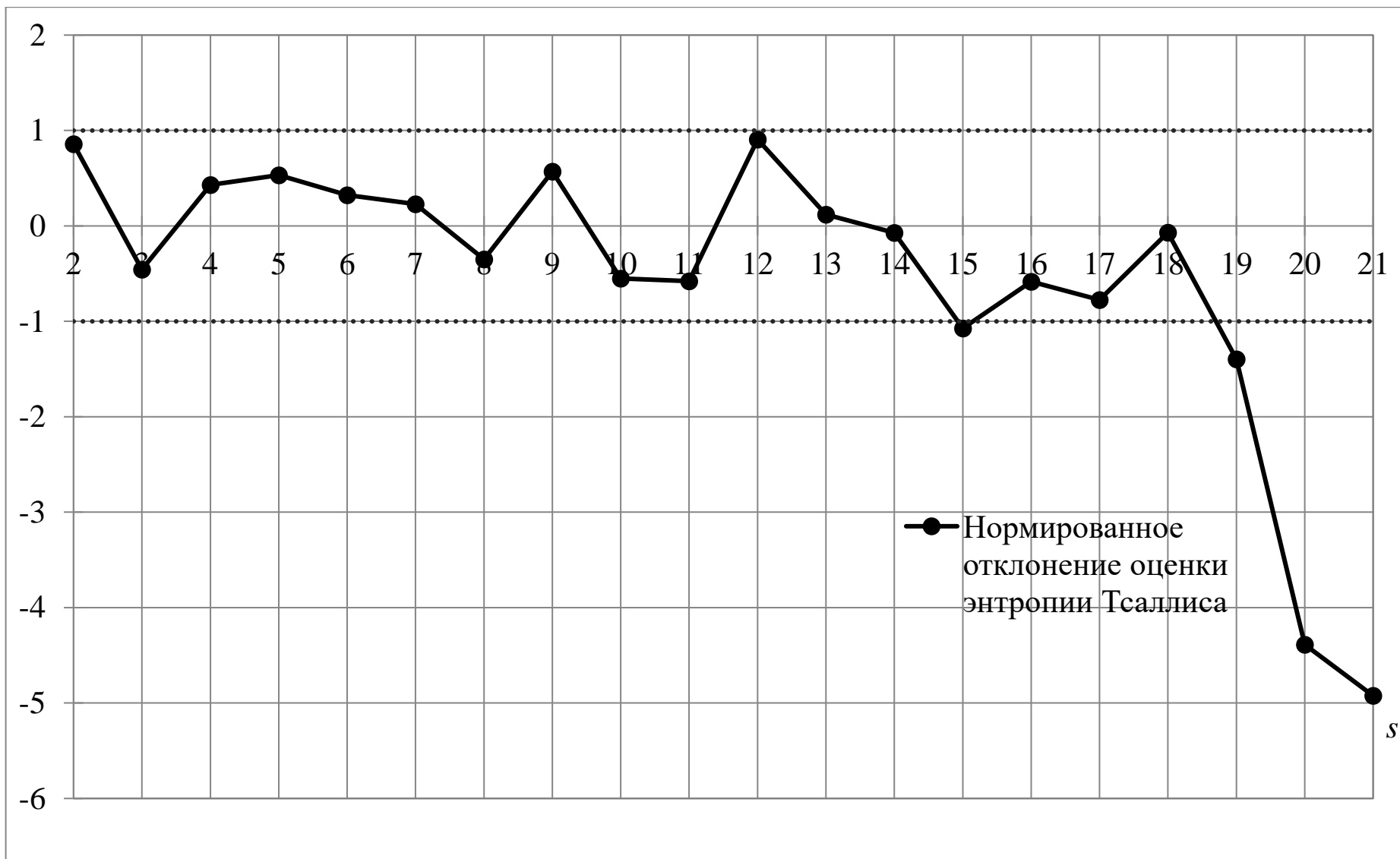


Рисунок 8 – Нормированное отклонение оценки энтропии самосжимающего генератора

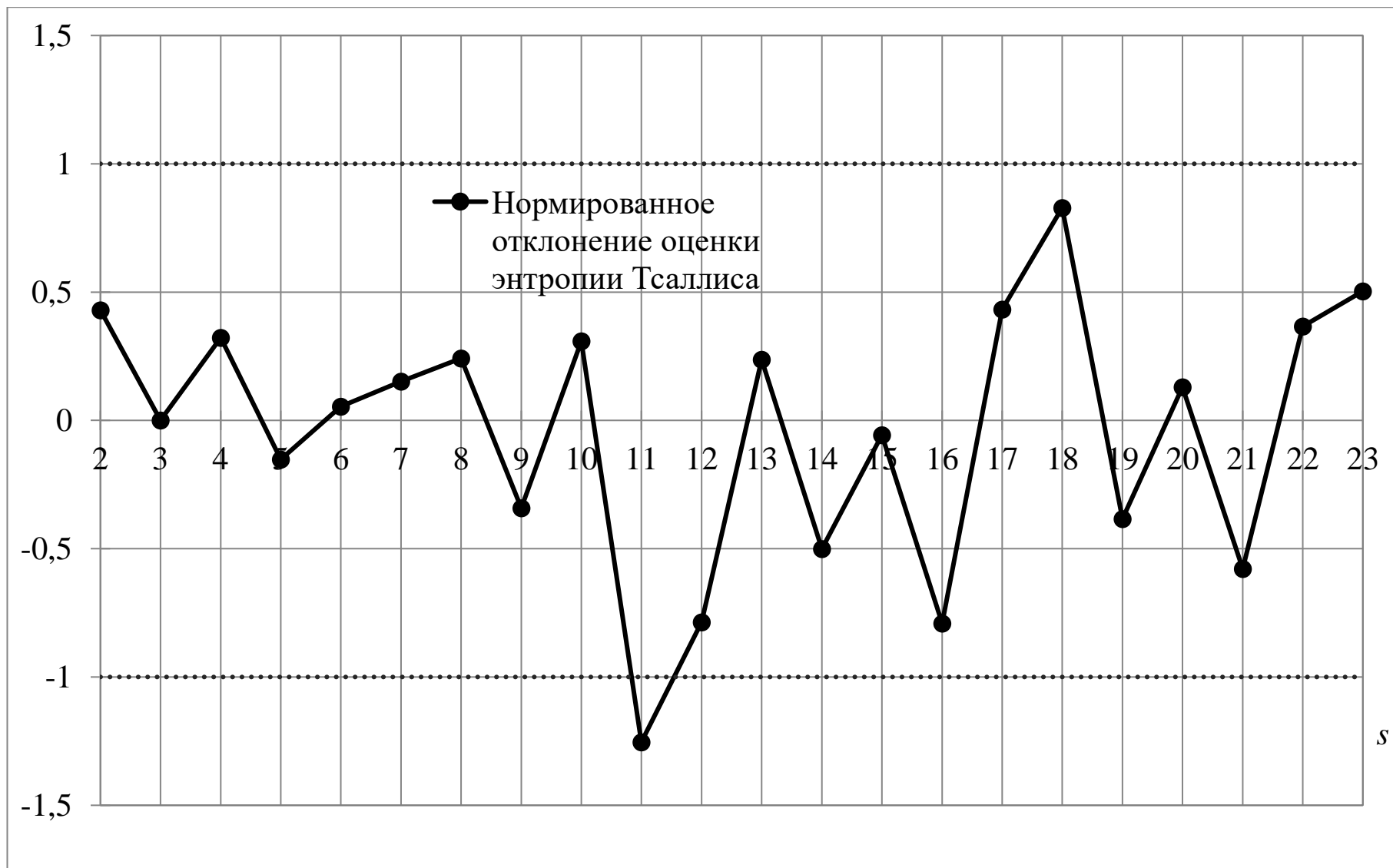


Рисунок 9 – Нормированное отклонение оценки энтропии алгоритма ГОСТ 28147-89

# ЗАКЛЮЧЕНИЯ

Разработанный тест на основе статистической оценки энтропии Тсаллиса позволяет обнаруживать отклонения выходных последовательностей псевдослучайных криптографических генераторов от модели РРСП, что обосновывает его применимость для оценки качества псевдослучайных генераторов.

**СПАСИБО ЗА ВНИМАНИЕ!**